

噴射氣流之最新調查

張瑞翔
R. S. Chang

Recent Investigation on Jet Stream

一、前言

二、噴射氣流之熱力風方程式

三、噴射氣流之種類

1. 極面噴射氣流 (P F J)
2. 副熱帶噴射氣流 (S T J)
3. 热帶東風噴射氣流 (T J)
4. 極地夜間噴射氣流 (P N J) (又名 A S T)
5. 低空噴射氣流 (L L S)

四、結論

一、前言

噴射氣流自從二次大戰以後，已為全世界氣象工作調查之主要對象，初步之結果僅知其為強烈之西風帶，影響飛行時間，由於最近遠程噴射機之遭遇，其不但影響時間，更足以影響安全，並且對天氣變化，直接間接都有關係。經過近代氣象學者研究之結果，發現其與面系、氣旋、以及暴風、雷雨等現象，都有關連，因而經分析統計之結果，到目前已發現五種不同之噴射氣流。

經過世界氣象組織 (WMO) 之決議；噴射氣流之正確定義為：「噴射氣流乃位於對流層或平流層之一狹長強風帶，附有垂直與水平向之風切，同時有一個或幾個最大風速中心」。一般而言，噴射氣流長約幾千公里，寬約幾百公里，厚約幾公里，其最大垂直風切約為 5—10 米/秒公里，最大水平風切約 5 米/秒/100 公里，並任何噴射氣流必須符合熱力風 (thermal Wind) 方程式。

二、噴射氣流之熱力風方程式

$$\text{等壓面上之地轉風 } u_g = -\frac{g}{f} \left(\frac{\partial \alpha}{\partial y} \right) P$$

式中 g … 地心吸力。 f … 科氏參數。

h … 等壓面高度。 y … 南北間之水平漂坐。

當上式對高度 (Z) 微分，而再考慮靜力學之關係式時，則上式變為下列方程式。

$$\frac{\partial u_g}{\partial z} = -\frac{g}{f} \left(\frac{\partial \alpha}{\partial y} \right) P \quad \dots \text{地轉風熱力方程式}$$

上式即表示溫度場與風力之關係式，亦即由公式中可看出，當西風隨高度而增強時，則溫度必隨同由右而左遞減，亦即可看出當極地與熱帶界限分

明，而風進入其分界線時，則西風隨高度增強。

噴射氣流之風速為將熱力風方程式由地面至對流層頂積分得之 $u_j - u_0 = -\frac{g}{f^2} \left(\frac{\partial \bar{T}}{\partial y} \right) H$

式中 u_j … 西東向噴射氣流風速。 u_0 … 地面風速。
 H … 最大風速層。

三、噴射氣流之種類

1. 極面噴射氣流 (The polar front jet stream) (P F J) (極面噴射氣流為噴射氣流之一

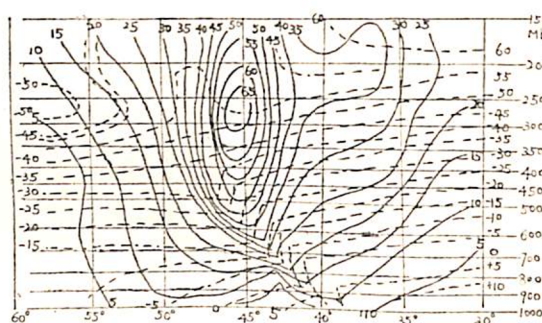


圖 1. 在 20°W 之標準 P F J 剖面圖 (Palmen 和 Newton 1955)

種，其斜壓區由上而下伸展，透過對流層處及地面，在有利之情形下，地面有面系氣旋之生成。圖 1 是標準的極面噴射氣流剖面圖。普通而言，最大風速接近 300 Mb，顯明的斜壓區透過全對流層。P F J 有時可回繞全球，根據美國之統計 P F J 之下常伴有面系之出現，有時其斜壓區向上伸展到平流層，其最大風速層有時出現在 500 Mb 層與面系相交之暖區，或高達 200 Mb 與面系相交層之下方。

因為 P F J 是唯一能使斜壓區伸展到地面之噴射氣流，故其下極不穩定，因而在其下常有面系氣旋之生成，而不必一定要有極地氣團與熱帶氣團之存在。

由於高空風之統計，證明 P F J 在南北半球，均有存在，北美、歐洲、澳大利亞、南非等地均有出現。除去區域性之特性外，由於各個氣象學者之調查，發現 P F J 有下列之共同性質：

① 接近噴射氣流中心處，如面向下游，則左邊之氣旋式風切較右邊反氣旋風切為大，並其中心之絕對旋率。(Absolute Vorticity) 通常為很小之正值 (約為 110^{-5} Sec $^{-1}$)。在最大風速之中部附近，有時可能有負的絕對旋率出現。

② 在最大風速帶之東向運動中，指示左方為下坡運動，右方為上坡運動。

③ 最強之氣旋式風切層在噴射氣流中心之下方；最強之反氣旋式風切層在噴射氣流中心之上方。

④ 最大風速層不一定出現在對流層頂。噴射氣流中心位於對流層頂斷裂之右方。

在反氣旋式風切之一邊，最大風速層出現在對流層之下方。

⑤ 噴射氣流中心在 500 mb 出現在等溫線梯度最密區之上方，而在 200 mb—175 mb 等溫線密度最密區之下方。

歷年來統計之 P F J 結果，最強之為時東京上空之 650 Km 公里/時。美國費城上空之 396 Knots 哩/時。事實上，上述之兩最大風速之正確性可疑，因為現用探空儀。本身有儀器差及強風時之實際風速可能有偏差。故 Lettau 氏根據調查與理論，對 P F J 之估計有下列公式可予參考之。

因為氣壓梯度合乎餘弦函數。

$$\text{設 } P = P_0 + \frac{P_H - P_L}{2} \cos \frac{\pi}{A} n$$

式中 A … 高低壓中心間之距離。

n … 坐標軸到噴射氣流軸間之垂直距離
(設其由高壓，指向低壓為正號)

$$P_0 = \frac{P_H + P_L}{2} \dots \text{代表平均氣壓當。}$$

$$\text{氣壓梯度 } n=0 \quad P=P_H$$

$$n=A \quad P=P_L$$

$$n=\frac{A}{2} \quad P=P_0$$

$$\text{氣壓梯度 } \frac{\partial P}{\partial z} = -\frac{\pi (P_H - P_L)}{2A} \sin \frac{\pi}{A} n \dots ①$$

最大氣壓梯度之情況為：當 $\sin (\frac{\pi}{A}) = 1$ 時

$$\text{則最大地轉風速為： } |V_{max}| = \frac{\pi (P_H - P_L)}{gf 2A}$$

當動力不穩定時 (dynamic Instability)，高低氣壓間之氣壓差最大。

$$\therefore \frac{\partial v}{\partial z} < f \quad (\text{Letteu 氏證明 1947}) \dots ②$$

若忽視氣流線上之曲度，對地轉風而言有下式之關係存在。

$$-\frac{\partial^2 p}{\partial x^2} < \rho f^2 \dots ③$$

再若忽視 f 因緯度之變化，再把 ① 微分同時考

慮 ③ 之情形可得出最大氣壓梯度之條件為：

$$(P_H - P_L) < \frac{2\rho f^2 A^2}{\pi^2}$$

在反氣旋之作用下最大梯度風 $|V_{max}| = \frac{rf}{2}$

$$V_{max} = Vg$$

$$\therefore \text{最大梯度風切 } \left(\frac{\partial v}{\partial z} \right)_{max} = \frac{f}{4} \dots ④$$

比較 ② 與 ④ 可看出 ④ 比 ② 約受 4 倍之限制

$$\text{故對反氣旋而言 } P_H - P_0 < \frac{2\rho f^2 A^2}{\pi^2} \frac{1}{2} \quad (\text{當 } n=0 \rightarrow \frac{A}{2})$$

$$\text{對氣旋而言 } P_0 - P_L < \frac{2\rho f^2 A^2}{\pi^2} \frac{1}{2} \quad (n \text{ 當 } 0 \rightarrow \frac{A}{2})$$

$$\text{合併上二式得： } P_H - P_L < \frac{5\rho f^2 A^2}{\pi} \dots ⑤$$

$$\text{將 } ⑤ \text{ 式代入 } |V_{max}| = \frac{\pi (P_H - P_L)}{\rho f^2 A} \text{ 中}$$

$$\text{得 } V_{max} < \frac{5}{8} \frac{fA}{\pi}$$

假設 10 公里高度上極地上空為低壓，赤道上空為高壓，則由上式得 $|V_{max}| = 738 \text{ Km/時} (= 400 \text{ Knots})$

但是最高氣壓之出現不在赤道，而在緯度 $30^\circ N$ 附近。故 738 減去其 $1/3$ 之近似值，結果約為 300 Knots 左右，故與實際探空值求得相近似。

2. 副熱帶噴射氣流 (The Subtropical Jet Stream) (STJ)

就結構而言 STJ 非常與 P F J 相似，亦為西風帶，但其最強風速層常近 200 Mb，並通常在 150 Mb 附近出現。其生成原因有下列諸說：

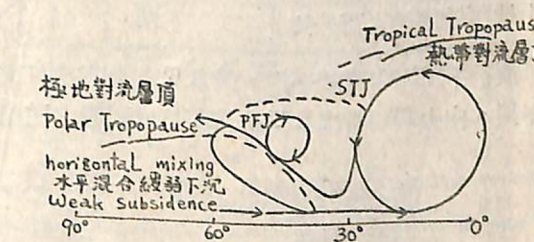


圖 2.1 北半球冬季平均子午環流圖

① 在北美洲因為 P F J 之南移，故有時有幾個噴射氣流同時出現。根據菲力浦氏 1950 之調查，當

噴射氣流南移時，其高度愈南時愈高，同時位溫亦隨之增高，因而在位溫較高處，新生副熱帶噴射氣流 (STJ)。

②百爾門 (Palmen) 氏認為 STJ 之生成乃由於南來之角動量 (Angular momentum) 關係，由上圖 2.1 可看出 STJ，必須在子午圈之北邊生成。為欲表示角動量變化 (由絕對角動量變為相對角動量) 與 STJ 之生成關係，可由下列之關係式及數字表示其相互之關係：

水平與垂直角動量之輸送係由於平均子午圈環流時之質量輸送，而在等壓面 P_2 與 P_1 間經過緯度圈 φ 之質量輸送，其大小為：

$$m\varphi = \frac{2\pi R \cos \varphi}{g} \int_{P_2}^{P_1} V dp \quad (\text{式中 } V \text{ 為氣壓 } P$$

上之平均子午圈分力)

角動量之擾動互換量

$$m_z = -\mu \frac{\partial^2}{\partial z^2} \text{ARCOS} \varphi$$

式中 μ 為角動量之交換係數，經百爾門氏計算之結果對 700 Mb 而言為 $\mu = 1.20 g \text{ Cm}^{-1} \text{ Sec}^{-1}$
(假定 $\frac{\partial^2}{\partial z^2} = 4.10^{-3} \text{ Sec}^{-1}$)

A 代表 $20^\circ - 30^\circ \text{ N}$ 間之緯度圈面積。

在地面上由於風切作用造成地表與空氣間之角動量互換。百氏門氏曾就赤道與 30° N 間算出 $m_z = 61.10^{25} \text{ gm}^2 \text{ Sec}^{-2}$ (元月份)

下表為元月份由南而北之角動量總輸送量 (單位為 $10^{25} \text{ gm}^2 \text{ Sec}^{-2}$)

緯度	30°	25°	20°
子午環流之輸送量	6	11	14
空氣渦動之輸送量	56	47	32
上述兩輸送量之百分比	11	23	44

故子午環流和波動一樣，對 STJ 之形成有重要作用。由上圖可看出 STJ 常可造成顯著之逆溫

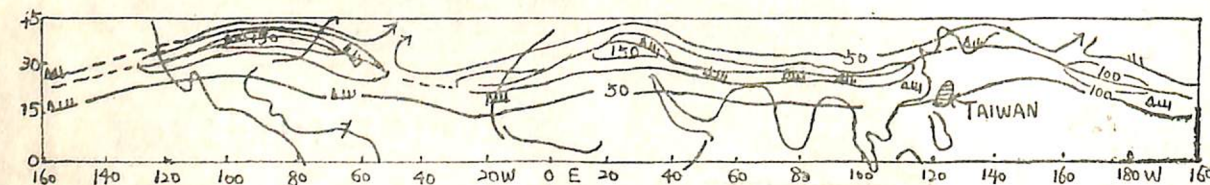


圖 2.2 1956 200 Mb 之 STJ 分析圖 (By Krishnamurthy)

移動性與低指數到高指數之過程有關係，普遍在北邊出現與極面相連之最大風帶，此最大風帶將向低緯度滲透，而形成南支噴射氣流。同時向上發展，於是波幅增加結果造成一個明顯極面，與兩個以上的噴射氣流分支，其最南之一支叫 STJ。故考慮 STJ 之生成史，我們可以說中 STJ 為原有極面上空斜壓區之剩餘產物，而地面由於副熱帶高壓區之輻散作用，使氣團變性，破壞原有之斜壓特性。故近地面 STJ 與地面界面無任何關連象徵。同時

此 STJ 軸因其向南發展，故造成其位溫之增加。②有些時上述兩噴射氣流在某些高度上很接近，甚至合併為一，再而分枝，北枝走向東南。由於與波動相對比，此風速最大之處，當為高空冷槽之所在。故在這種情形下，等高線梯度增加，高空風速增強 (亦即寒潮爆發)。

3. 热帶東風噴射氣流 (The Easterly Jet Stream of the tropics) (TJ)。

當夏季在印度及北非 Jenkinson 氏會發現在 200

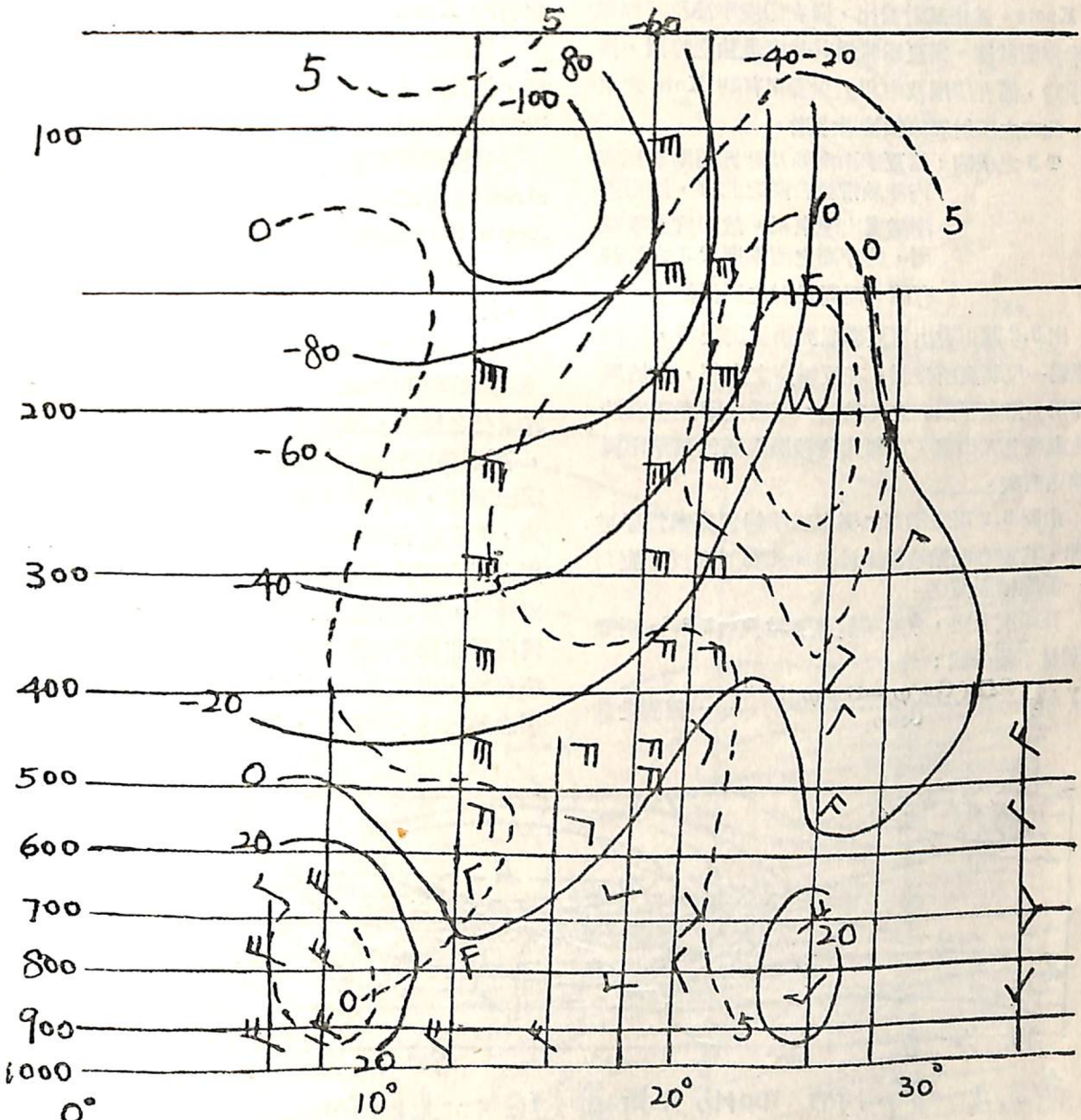


圖 3.1 1955 印度東風噴射氣流剖面圖

Mb有50 Knots之東風出現，其最大風速帶在100—150Mb間。由圖3.1可看出自印度之南端 (Trivandrum) 到喜馬拉雅山麓 (New Delhi)，此東風曾達100 Knots。由圖3.2可看出由於100Mb之風速分析，可顯示出一顯著之東風氣流在印度兩大半島之間大於100 Knots，追溯向東，其淵源起於關島。其次在非洲西岸，平均約60 Knots。

東風噴射氣流亦為環繞全球之風帶。但在中美洲 (Central America) 僅有微弱之東風有時大於10 Knots。並由統計看出，僅在印度半島及非洲是呈半停留狀態。當夏季時為其強度最強之時機，當冬季時，僅在印尼及中非上空發現有20 Knots之東風，此時之噴射氣流軸接近赤道。

TJ之成因：當夏季由南亞及非洲西南季風與內陸熱帶輻合區之北移，因而近赤道處出現東風。故印度之季風雨，與非洲之雨季與TJ之位移有關，而與日射之間係較小。

由3.2圖可看出當夏季亞洲季風出現時，亞洲平原為一反氣旋所控制。在反氣旋之東部，由於風向作用，帶來了西向之角動量。可看出印度正處於此角動量之入口處，亦即此角動量由緬甸與華南區，輸送而來。

由圖3.2可表示第二個東風噴射氣流處為赤道西非，其重心在撒哈拉大沙漠。其與亞洲反氣旋間有一低壓槽隔開之。

在印度上空，東風噴射氣流軸立於15°N，根據角動量不變公式：

$$\Delta V \lambda = \frac{R \Omega (\text{Cos}^2 \phi_2 - \text{Cos}^2 \phi_1)}{\text{Cos} \phi_2} \quad \dots \dots \text{絕對角動}$$

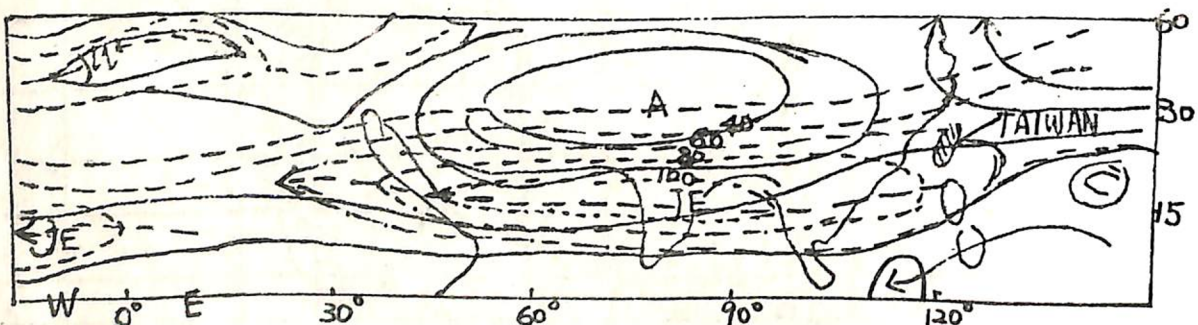


圖3.2 25/7 1955 100Mb分析圖 JE---東風jet

量不變公式。

可算出因角動量不變而東風應增強至105 Knots左右。

又根據各方之統計表示TJ對熱帶氣旋、熱帶颱線，及間熱帶面 (F I T—Front intertropic) 以及熱雷雨都有密切關係（根據作者統計，台灣南部夏季之熱雷雨與高空東間風之風速及厚度都有關係或許係TJ之作用）。

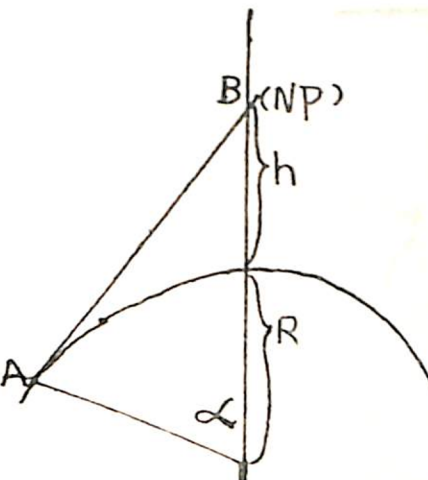
在南半球 Bond (1954 2月) 發現在澳大利亞會有80 Knots之東風 (14.5—17.5 Km)。

雖然在熱帶，有時東風不一定够得上TJ之強度，但其造成之波動，因旋率與輻散作用之結果對天氣變化有很大之影響。

4. 極地夜間噴射氣流 (The Polar Night Jet stream) (PNJ) 或稱北極平流層噴射氣流 (The Arctic Stratospheric Jetstream) (ASJ)。

一般講，極地上空之對流層低，而平流層溫度高，赤道上空則相反。因而極地與赤道形成補償作用 (Compensation)。

由於Palmen氏之調查，在Sweden (68°N) 處施放探空之結果，發現在12—20 Km間冬季溫度) 低，夏季溫度較高。並發現其平流層之年平均溫度環流變化，較其南部為顯著，且冬季之平均雷文紀錄，原有之暖極地對流層頂已不存在，其下面對流層之溫度遞減率僅達到8—9公里，再向上則溫度一直遞減，其冬季之平均溫度僅-66°C，故可結論其為冬季北極平流層之輻散作用。因為冬季開始，北極自地面到很高之高度接受不到日光，故原有臭氣層之熱源已不復存在，此由下式中可看出



上圖在AB以下之北極地區，均接受不到日光，其 $\alpha \equiv 67.5^\circ$

$$\therefore h = \frac{R(1-\text{Cos}\alpha)}{\text{Cos}\alpha}$$

∴ 當 $\alpha \equiv 67.5^\circ$ 時
則 $h = \text{幾百公里}$

因而由上式出可看整個冬季平流層之不斷溫度降低，故形成風速之向上增加，最後在平流層之適

當高度上出現最大風速，型成ASJ。

下圖4.1由此剖面圖下可看出60°N以北之熱力風均為西風（溫度由下而上一直遞減），故可看出ASJ現在臭氣層之高度上。

下圖4.2可看出在25Mb之高度上其等高線梯度由南而北很顯著，並由溫度之向北遞減可看出最大風速仍在25Mb以上。

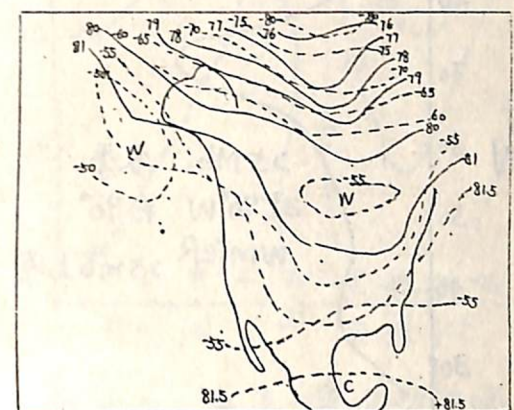
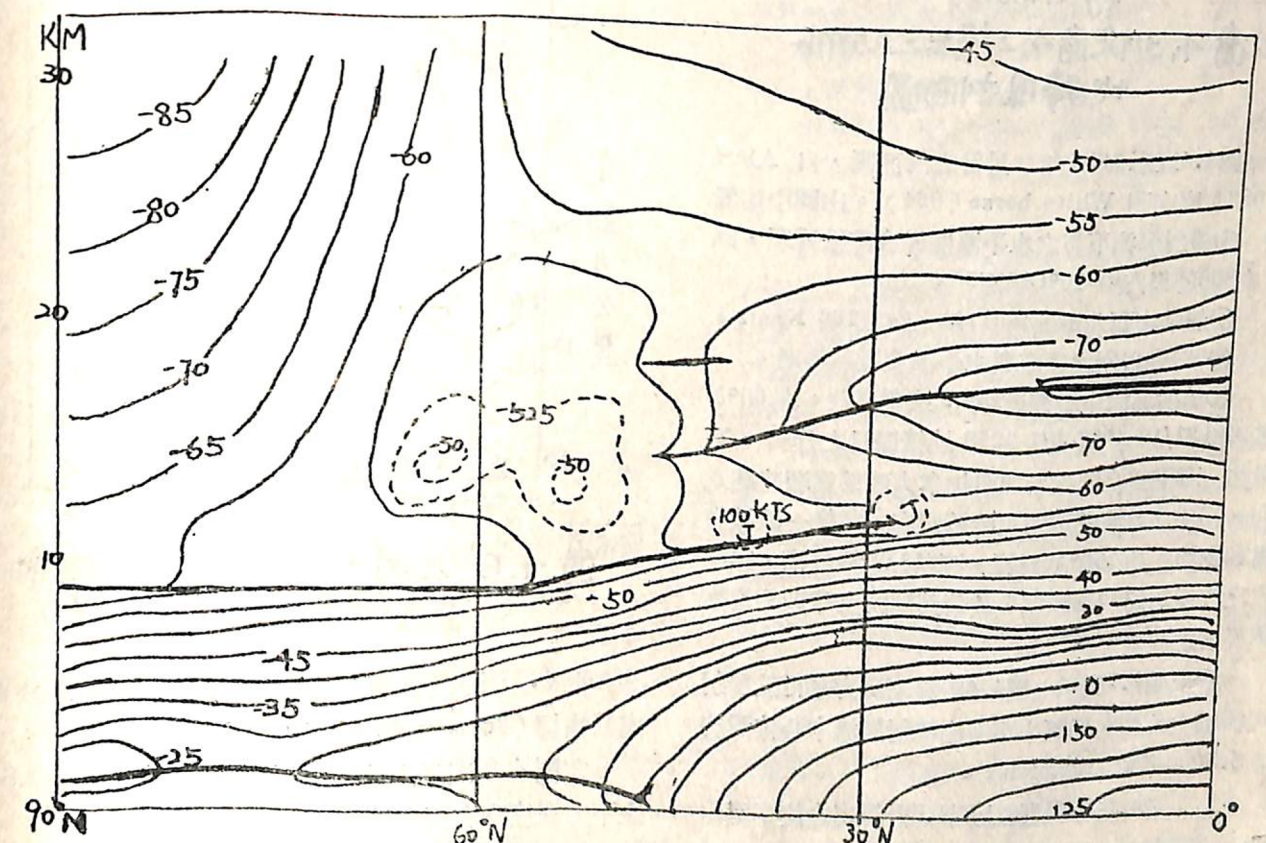


圖4.2 25Mb等高線與等溫線之分析圖 (By Kochanski 1955)



下左圖4.3係由圖4.2演算而來，表示沿 90°W 之垂直地轉風速圖，用地轉風公式計算而來。由圖中可看出北極附近（圖中之 72°N 附近）之強力西風，故與4.2圖相吻合。

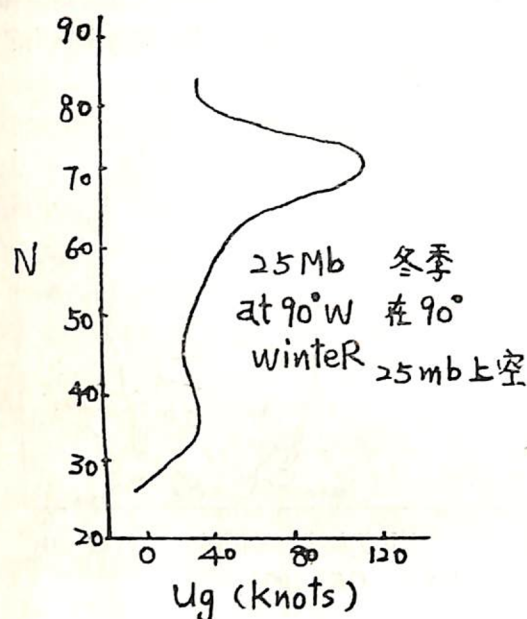


圖 4.3 從圖 4.2 標出之 25mb
地轉風剖面圖

圖4.4表示1956年2月份之剖面圖，自Alert(082)南向到White horse(964)。由圖中可看出①噴射氣流下方之水平溫度梯度非常明顯，溫度在800哩以內由-70°C增至50°。

- ②最強之西北風速為917站上空之160 Knots。
③924站以南之垂直與水平溫度近似等溫。
④噴射氣流中心接近25mb 或更高些。在 65°N
處利用 31/12 1957-3/1 1958 連續四日之分析，發
現此一西風常在阿拉斯加與加拿大西部為順時鐘走
向，到達北美東部改為反時鐘走向，故像一波浪有
擺動趨勢。在 150°W 為脊，到 60°W 變為槽，其半
波之波長約為 90 個經度，故若其圍繞全球則約為兩
個長波之波長。

右上圖4.5表示上圈4.4四日來風力平行於噴射氣流軸之情形，由圖中可看出噴射氣流中心位置約在8,5000呎處($\approx 25\text{ Mb}$)。

右下圖4.6表示根據上圖4.5計算出之旋率變化圖。在噴射軸之附近，旋率梯度非常明顯，同時參看圖4.5表示氣旋邊風切較反氣旋邊為強。

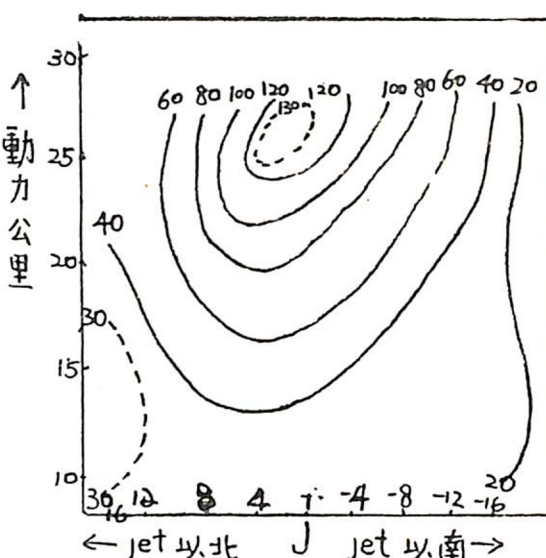


圖 4.5 3/2 1957-3/1 1958 風力平行
於 Jet 軸之垂直剖面圖
(CS Knots)

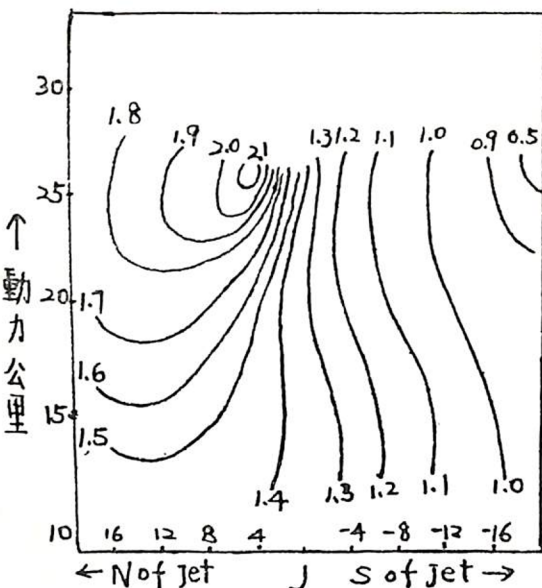


圖 4.6 從圖 4.5 算出之絕對旋率
垂直剖面圖 (10^{-4} sec^{-1})

圖 4.7 表示等熵與風力之關係圖可看出 A S J 處其熵切 (Isentropic Shear) 最強。

左圖 4.8 表示上述四日來之溫度分佈圖，ASJ 之下方溫度由右而左遞減。

圖 4.9 表示平均溫度與高度之關係圖，由圖中可看出由下而上是等溫狀態，但到臭氣層時，溫度

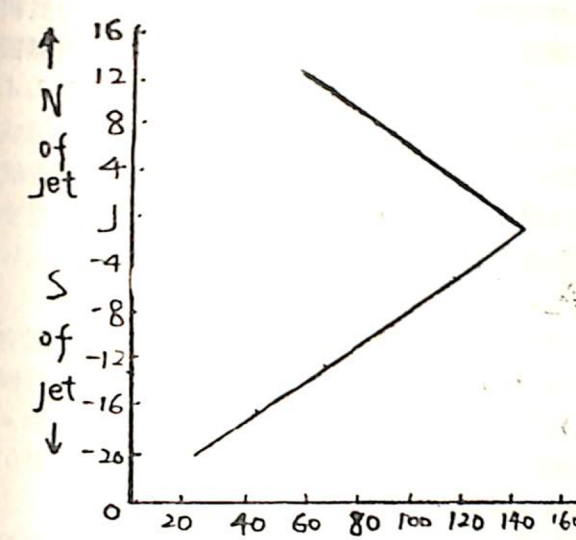


圖 4.7 沿等面經過 ASJ 中心之風速剖面圖

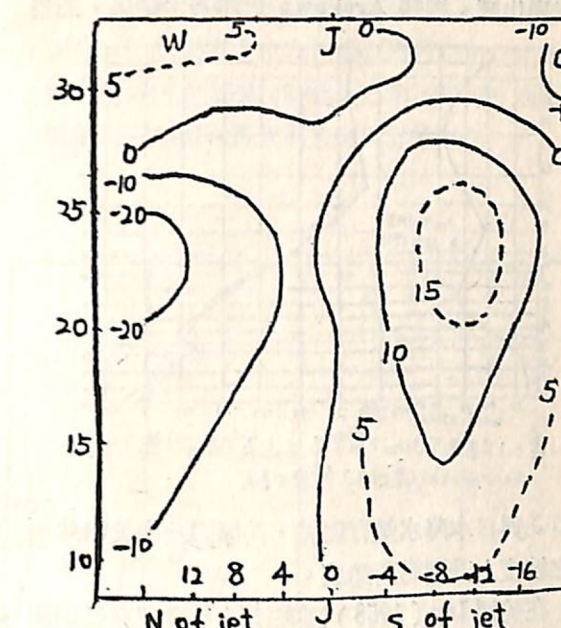


圖 4.8 垂直溫度分佈圖

討論 L L J 時，我們首先摒棄 W M O 之規定一低於 60 Knots 之風速不稱叫噴射氣流。

因為 L L J 實際上含有水平與垂直之風力梯度存在，故列為噴射氣流討論之列。

與 L L J 相似之另一現象為 IWM (Inversion Wind Maxima)，在美國之中西部 I WM 現象很多。

L L J 與 I WM 之垂直風切都很強。當 I WM 存在時，其對流性可破壞逆溫，但其下降氣流（下沉風）接近地面之急速減弱（近地面 100 米內會測得 3Knots/10米）。如此之情形因逆風分力之超過估計值，而可影響到飛機之進場造成意外。

Blackadar 氏算出在早晨 IWM 有超梯度風之現象 (Super-geostrophic)。此一超梯度風速可超過實際之最大風速值，而最大風速層之高度常與逆溫層頂一致。又調查出當 Richardson's number 與逆溫層之高度同時增加時 (即 $\frac{\partial R_j}{\partial h} \geq 0$)，此時最

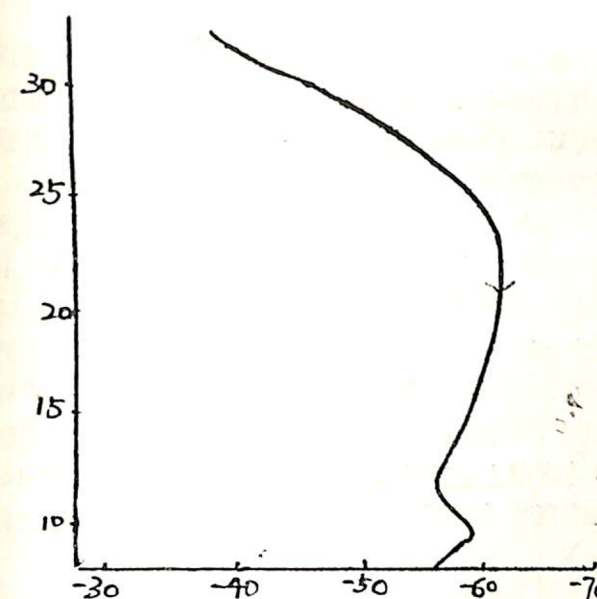


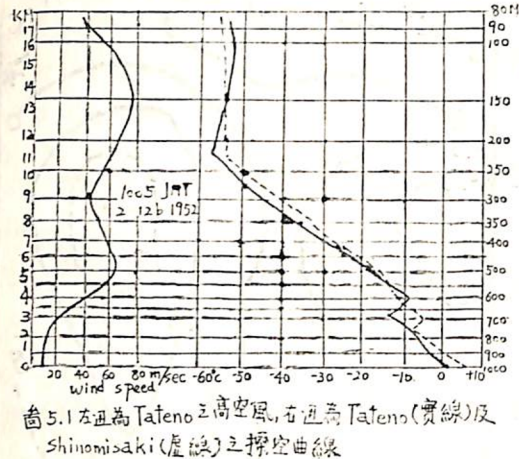
圖 4.9 平均溫度—高度剖面圖
(根據圖 4.8)

突然升高，但此處無對流層頂，故可顯然決定此忽然溫度之升高處即為 A S J 之所在地。

5. 低空噴射氣流 (Low-Level Stream) LLJ)

LLJ 所討論之對象為低對流層，通常低於 500 Mb，且其與颶線及龍捲風之形成有直接關係。在

垂直變化圖。根據 Arakawa 氏調查之結果，認為

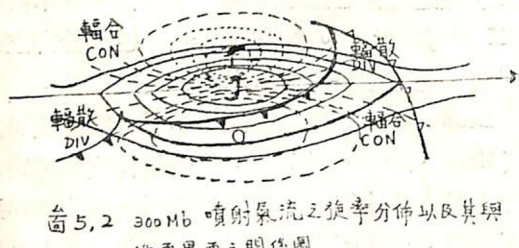


LLJ與日本降水量有關係，其原因乃由於沿此面系之坡度上升運動所造成。

在美國 Iay (1958) 調查結果，發現在低對流層內 (≈ 5 公里之高度) 之熱力梯度，可造成強風之現象，如此之熱力梯度不一定和日本之面系性質相似。

在赤道非洲亦有此 LLJ 之現象，在3—4公里之高度上出現，含有垂直水平之風切現象，並與天氣變化之現象有系統性關係存在，故亦屬於 LLJ 之範圍。

標準之 LLJ 中其旋率 (Vorticity) 與幅散 (Div) 之變化與 PFF 及 STJ 相似 (Beebe 與 Dr Bates)。參見圖 5.2 實際風速較噴射氣流軸移行爲快，因而迫使空氣層點穿行噴射氣流軸，在左後象限有幅合 (CON) 現象，右後方有幅烈 (DIV) 現象。



LLJ 對大雷雨，颶緣與龍捲風之形成都有關係。在劇烈天氣之型式 T，一定有濕舌存在，呈條件性之潛熱不穩定，此時之自由對流凝結高度在 650 Mb 以下。在逆溫層以上，則為強烈之乾燥空氣層。雷雨與龍捲風之不穩定係由於潮濕空氣之上舉到達自由對流層，此上舉力乃由於冷面之接近作用。

Showalter 氏認為龍捲風之形成 B，乃由於狹長之西風帶 (600 Mb 層上至少有 35 Knots) 與濕舌相斜交，造成強烈之對流作用。另一事實為 LLJ 在槽線之前與暖空氣相平行時，則在北美中部形成大量之降水，此或許由於 LLJ 之風力促使暖空氣之上升運動所造成。另一事實為在落磯山之東邊發現 850 Mb 有 LLJ 來自西南方，而在東部有形成氣旋之作用。

由圖 5.2 可看出由於旋率之分配，可看出濕空氣中有強烈之輻合作用。圖中 LLJ 之右前方為輻合 (CON) 區，故 5.2 圖符合旋率平流之理論。倘逆溫層將乾濕氣層分開，因為上升運動之結果，則條件性不穩定層即造成了大量乳狀積層。

Beebe 與 Dr Bates 認為若 LLJ 之上再有高對流層噴射氣流存在時 (即若方向不同)，則輻散區之下有輻合區 (此一情形亦為牛頓所支持)，若面之左上空 500 Mb 有噴射氣流存在時，最適於龍捲風及大雷雨之形成。

牛頓認為成熟之界面系上空有下沉作用，因為機械力 (mechanism) 之作用，迫使由上向下輸送動能 (Kinetic Energy)，此可為 LLJ 形成之動力原理解釋。

地面颶線內輻合作用由下而上，到達某一高度時新的動量再由上而下輸送。因為颶線之上層吸取大量之動量隨風運送，故其移速較界面為快，有時颶線之出現不一定伴隨界面而生，但由其強烈之垂直風切現象可表示有 LLJ 之存在。(本人統計之結果發現歷年來台灣南部每當 6—8 月間之水龍捲出現，其時南部上空亦有 LLJ 之現象存在，故 Bates 之調查與理論已對美國劇烈天氣預報有事實上之貢獻。)

八、結論

1. 上述五種噴射氣流之事實已為氣象學者所共認。但其對天氣變化之關係，雖然已得出若干結論，但尚待進一步的考證。

2. 噴射氣流之存在，不但影響飛行時間，更因其造成之 CAT (晴空亂流)，已構成若干飛安事件，故為現代空軍及各航空機構研究之主要對象。

3. 明顯的事實，台灣冬季之天氣變化為寒潮作用，其強度以及冷面之強弱都與噴射氣流之位置、高度，以及其強度都有關係存在。例如五十八年

7/1 1200 Z 桃園探空紀錄為 250 Mb 層為 250/168 Knots 以及 16/1 0000 Z 馬公探空 250 Mb 層為 260/165 Knots，都與該日之界面系及寒潮強度有明顯關係。故若能每三小時拖放探空一次，則台灣對寒潮之估計有絕對關係存在。

4. 中國大陸之天氣變化與噴射氣流之關係更為密切。故為未來之反攻行動以及我空軍之活動計，對噴射氣流之調查與研究，已刻不容緩。謹提供上述各調查事實作為我氣象同仁之參考。

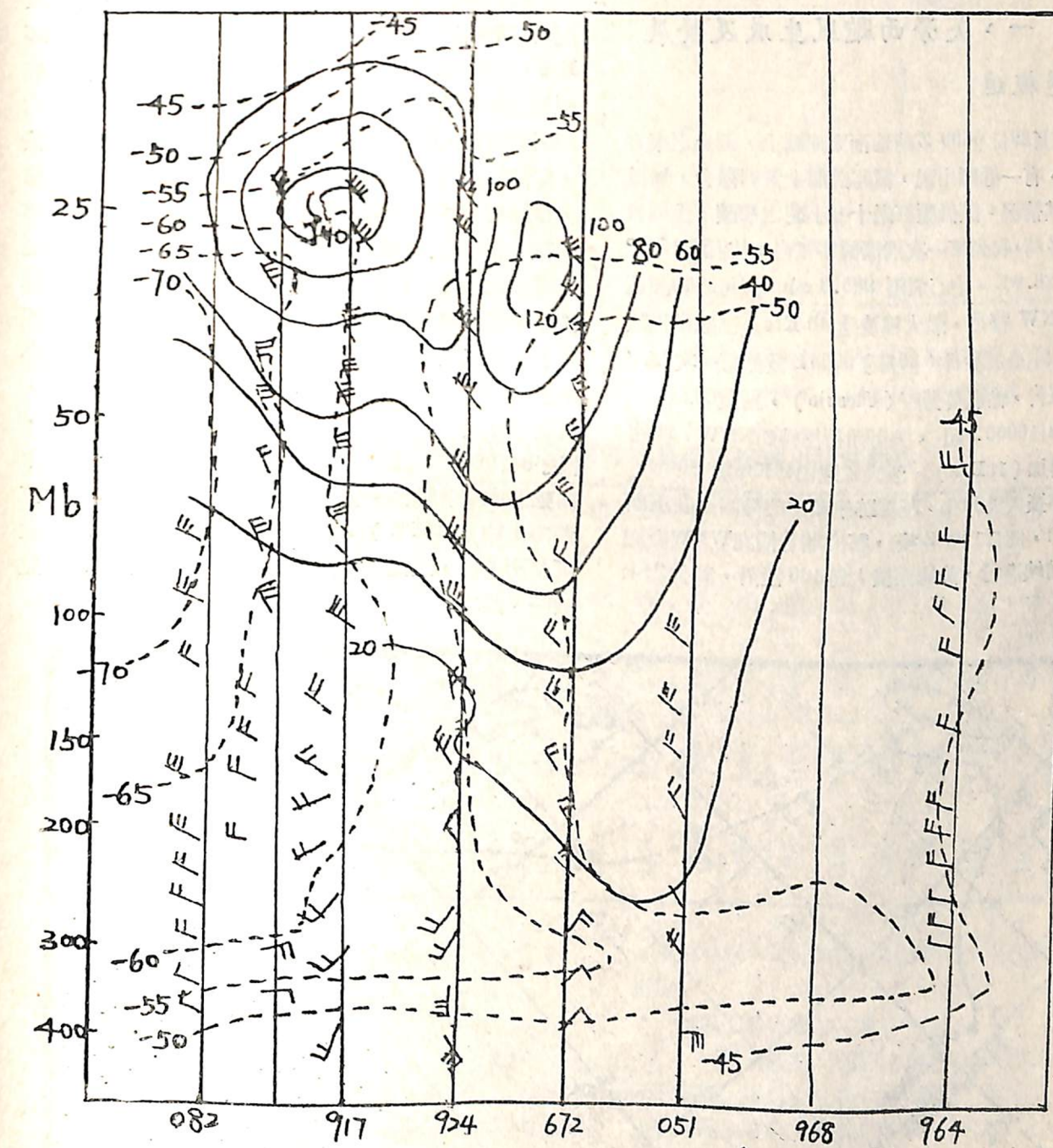


圖 4.4 26/1956 自 Alert (082) - whitehorse (964) 之垂直剖面圖